Pugetsound

PROGENESIS PUGETSOUND

0200HO12261 ZAZZLE x CABOT x FABULOUS

PROGENESIS ENFORCER PAT

FIFTH DAM

GENOMAX CALVING EASE ROBOTREADY A2A2 GRAZINGPRO

PEAK ZAZZLE
PROGENESIS CABOT POPEYE VG-85-4YR-CAN 1*
BOMAZ CABOT
PROGENESIS FABULOUS PINUP 1*
PROGENESIS FABULOUS
PROGENESIS JEDI PRAXEUM VG-85-4YR-CAN

GTPI 3080

TD TM TR TL TY MWT TV 99%-I HH1F HH2F HH3F HH4F HH5F HH6F HCDF HMWF

Nom #: HOCANM13996417	aAa: 423516	DMS: 135,561
Né le: 12/21/2020	Caséine kappa: AB	Caséine bêta: A2A2

PRODUCTION

G Troup G Filles 82% Fiab CDCB-G / 04-25

Lait lbs	Gras lbs	Gras %	Protéine lbs	Protéine %
309	**60**	**+0.18**	**39**	**+0.11**
NM$ **689**	CM$ **731**	FM$ **588**	GM$ **703**	DWP$ **580**
Efficience de l'alimentation **199**	IAR **-30**	Alimentation économisée **153**	Efficience du méthane **97**	

SANTÉ ET REPRODUCTION

Immunité 99

Vie productive	**3.1**	Immunité des veaux	**94**
SCS	**2.96**	Taux de conception des vaches	**1.7**
Taux gest. Filles	**1.0**	Taux de conception des génisses	**0.7**
Vivabilité	**0.5**	Facilité de vêlage	**1.3%** 90% Fiab
Livabilité des génisses	**0.6**	Facilité vêl. Filles	**1.2%** 71% Fiab
Indice de fertilité	**1.3**	Mortinatalité	**4.4%**
		Mortinatalité des filles	**3.0%**

CONFORMATION

G Troup G Filles 80% Fiab HAUSA-G / 04-25

PTAT	**-0.04**	Composite corps	**-0.76**
PisC	**0.52**	Composite laitier	**-1.16**
P&MC	**-0.37**		

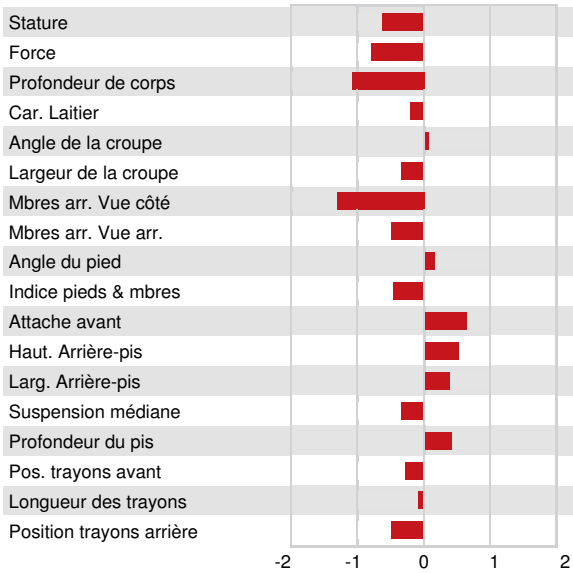

Stature		Petite	**-0.63**
Force		Faible	**-0.79**
Profondeur de corps		Peu profond	**-1.08**
Car. Laitier		Côtes serrées	**-0.21**
Angle de la croupe		Isch. bas	**+0.05**
Largeur de la croupe		Étroite	**-0.34**
Mbres arr. Vue côté		Droits	**-1.29**
Mbres arr. Vue arr.		Jarrets serrés	**-0.49**
Angle du pied		Profond	**+0.18**
Indice pieds & mbres		Indésirable	**-0.46**
Attache avant		Forte	**+0.67**
Haut. Arrière-pis		Haute	**+0.52**
Larg. Arrière-pis		Large	**+0.41**
Suspension médiane		Faible	**-0.35**
Profondeur du pis		Haut	**+0.44**
Pos. trayons avant		Éloignés Ecartés	**-0.27**
Longueur des trayons		Courts	**-0.06**
Position trayons arrière		Écartés	**-0.51**